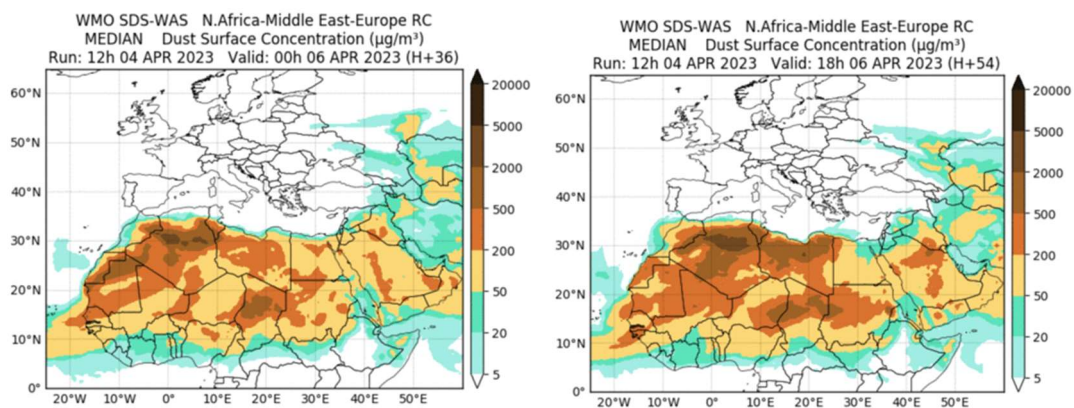
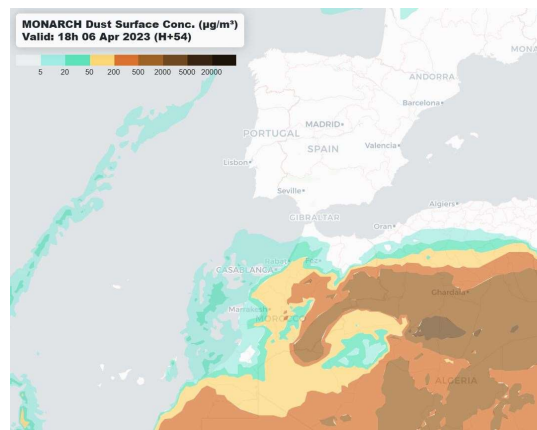
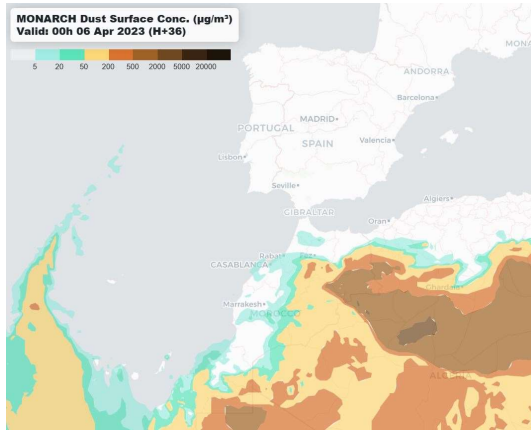


Predicción de intrusión de masas de aire africano sobre España para el día 06 de abril de 2023

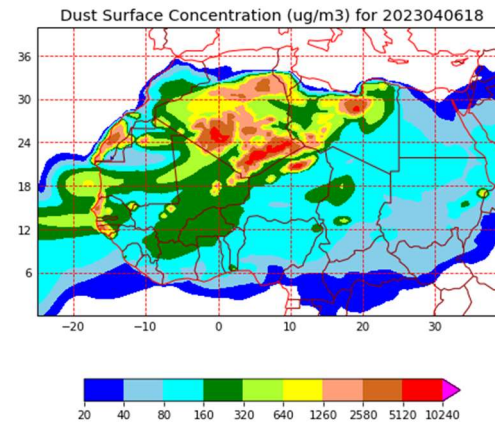
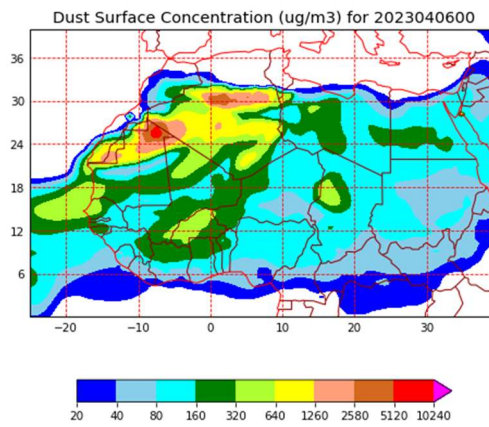
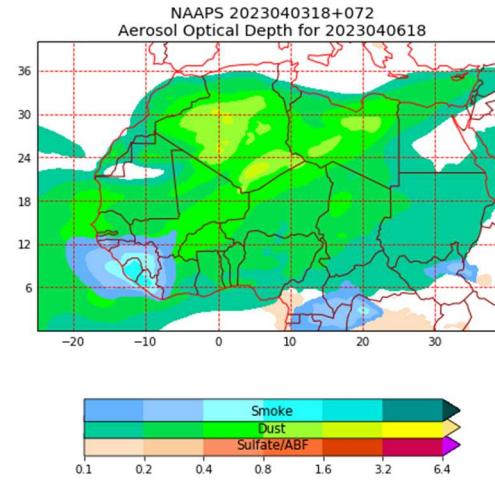
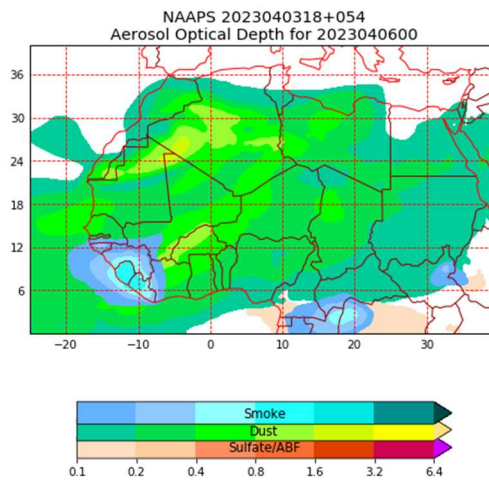
Se prevé que durante el próximo día 06 de abril y por efecto de las bajas presiones en superficie y en el nivel de 850 hPa sobre zonas de Marruecos y Argelia, se produzca la advección de masas de aire de origen africano sobre el archipiélago canario. Por ello podrían registrarse niveles de concentración de polvo en superficie en zonas de este archipiélago en el rango 10-50 $\mu\text{g}/\text{m}^3$ durante todo el día así como eventos de depósito seco de polvo por la tarde.



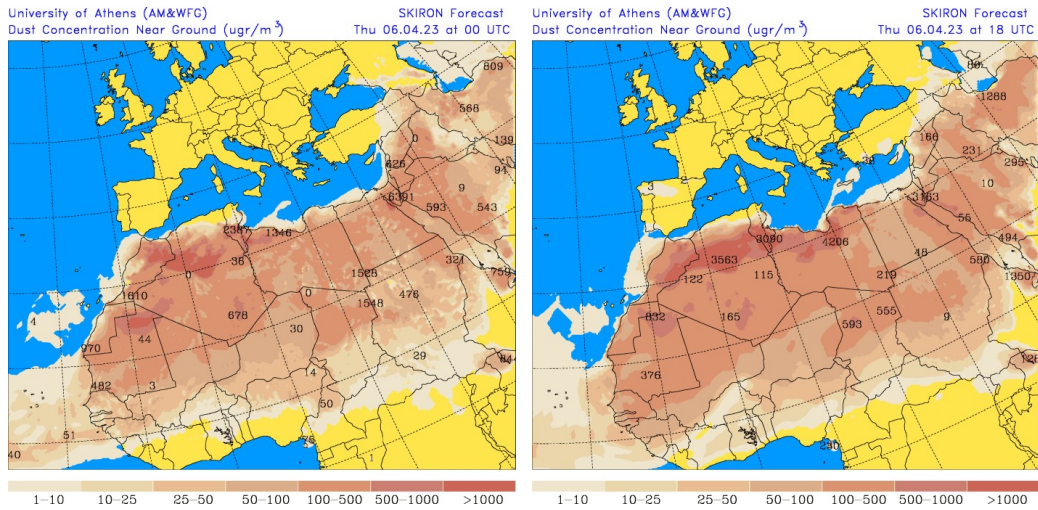
Resultados de la comparación de múltiples modelos de predicción de concentración de polvo (mediana y media en $\mu\text{g}/\text{m}^3$) para el día 06 de abril de 2023 a las 00h y a las 18h UTC. Sand and Dust Storm Warning Advisory and Assessment System Regional Center for Northern Africa, Middle East and Europe (SDS-WAS NAMEE RC; <http://sds-was.aemet.es>), gestionado conjuntamente por la Agencia Estatal de Meteorología (AEMET; <http://www.aemet.es/>) y Barcelona Supercomputing Center (BSC, <https://www.bsc.es/>).



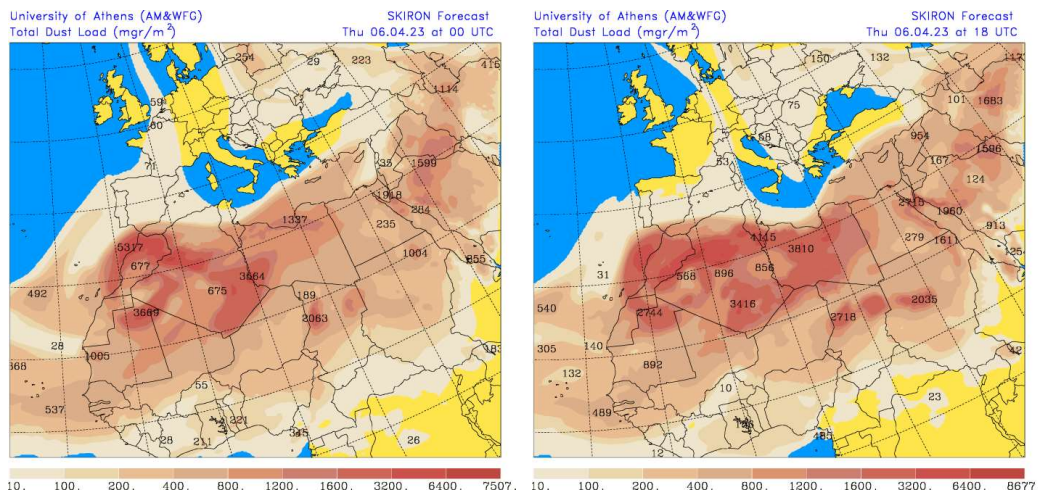
Concentración de polvo ($\mu\text{g}/\text{m}^3$) predicha por el modelo MONARCH para el día 06 de abril de 2023 a las 00h y a las 18h UTC. © Barcelona Supercomputing Center.



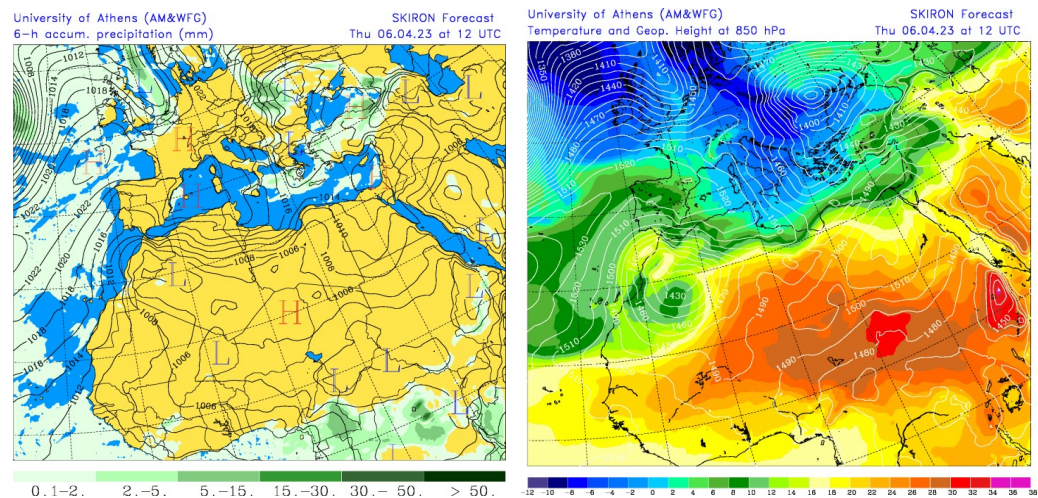
Espesor óptico de aerosoles a 550 nm (arriba) y concentración de polvo a nivel de superficie (abajo) previstos por el modelo NAAPS para el día 06 de abril de 2023 a las 00 UTC (izquierda) y a las 18 UTC (derecha) sobre el norte de África. ©Naval Research Laboratory (NRL), Monterey, CA.



Concentración de polvo ($\mu\text{g}/\text{m}^3$) predicha por el modelo SKIRON para el día 06 de abril de 2023 a las 00 UTC (izquierda) y a las 18 UTC (derecha). © Universidad de Atenas.

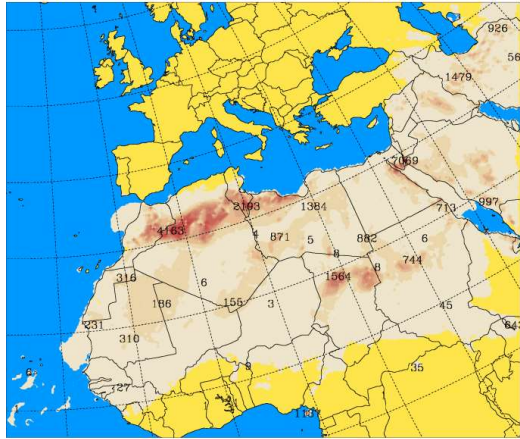


Carga total de polvo (mgr/m^2) predicha por el modelo SKIRON para el día 06 de abril de 2023 a las 00 UTC (izquierda) y a las 18 UTC (derecha). © Universidad de Atenas.



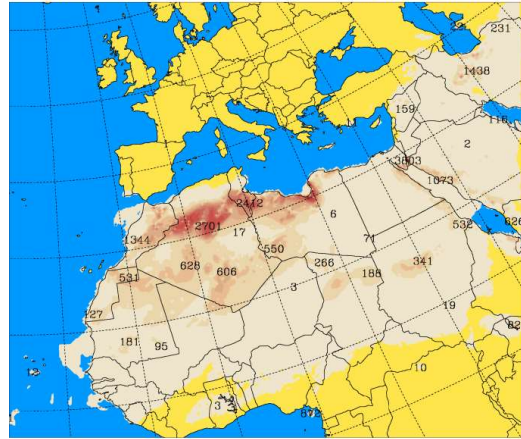
Precipitación acumulada (mm) y presión a nivel del mar (hPa) (izquierda) y campo de temperaturas ($^{\circ}\text{C}$) y de altura geopotencial a 850 hPa (derecha) previsto por el modelo SKIRON para el día 06 de abril de 2023 a las 12 UTC. © Universidad de Atenas.

University of Athens (AM&WFG) SKIRON Forecast
6-h TOTAL dry depos. (mgr/m²) Thu 06.04.23 at 12 UTC



0. 60. 180. 360. 600. 900. 1260. 1680. 2160. 2700. 3300. 3960. 4680. 5460. 7068.

University of Athens (AM&WFG) SKIRON Forecast
6-h TOTAL dry depos. (mgr/m²) Thu 06.04.23 at 18 UTC

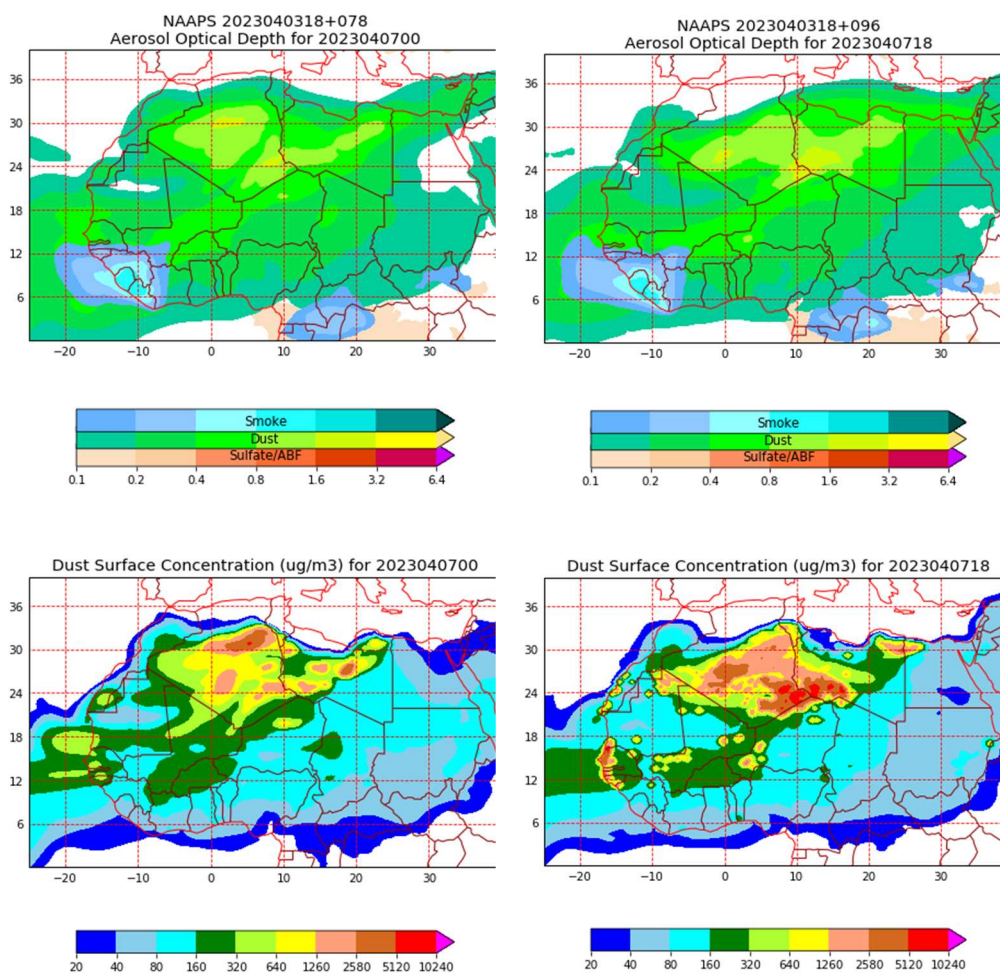


0. 60. 180. 360. 600. 900. 1260. 1680. 2160. 2700. 3300. 3960. 4680. 5460. 6300.

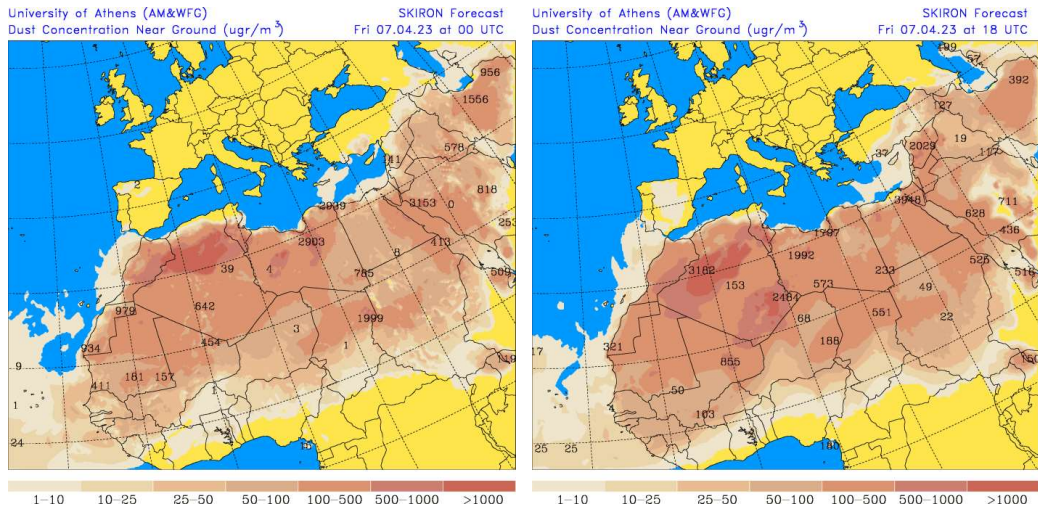
Depósito seco de polvo (mg/m²) predicho por el modelo SKIRON para el día 06 de abril de 2023 a las 12 UTC (izquierda) y a las 18 UTC (derecha). © Universidad de Atenas.

Predicción de intrusión de masas de aire africano sobre España para el día 07 de abril de 2023

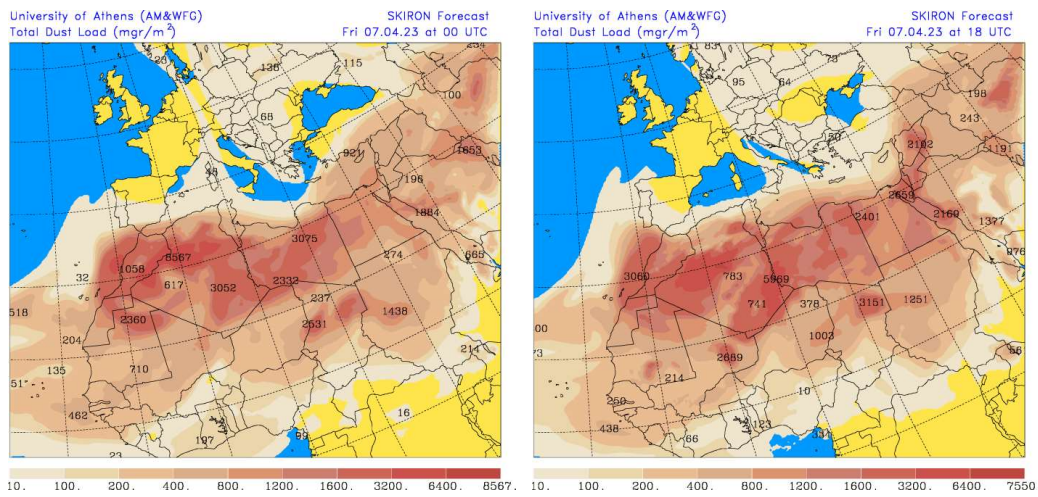
Se prevé que durante el próximo día 07 de abril persistan las bajas presiones sobre Marruecos que podrán generar un transporte de polvo mineral africano hasta zonas del archipiélago canario y del SO peninsular. En consecuencia, se podrán registrar niveles de concentración de polvo en superficie en el rango 10-25 $\mu\text{g}/\text{m}^3$ en las islas Canarias y en zonas del SO peninsular. Durante las primeras horas del día podrán producirse eventos de depósito húmedo de polvo en las islas Canarias y a partir del mediodía también de depósito seco de polvo en este archipiélago y en zonas del SO peninsular.



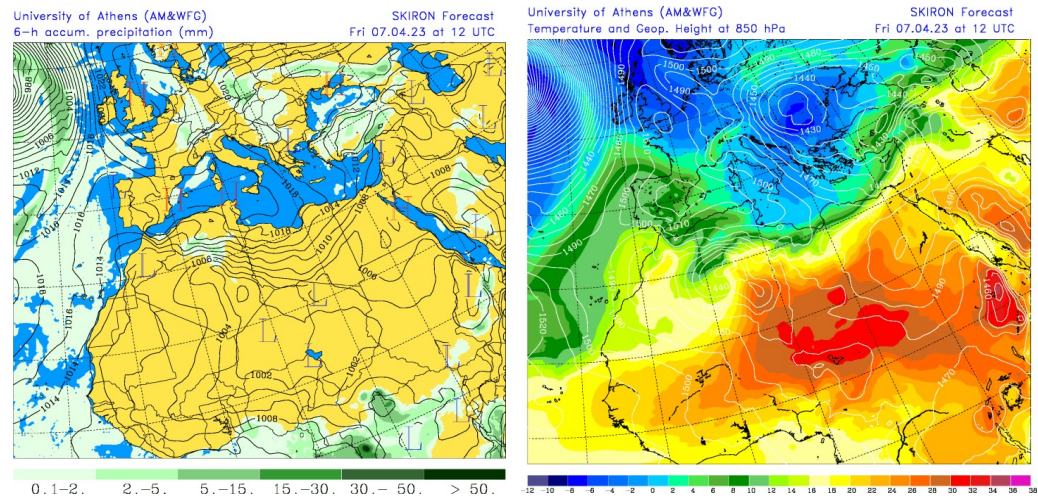
Espesor óptico de aerosoles a 550 nm (arriba) y concentración de polvo a nivel de superficie (abajo) previstos por el modelo NAAPS para el día 07 de abril de 2023 a las 00 UTC (izquierda) y a las 18 UTC (derecha) sobre el norte de África. ©Naval Research Laboratory (NRL), Monterey, CA.



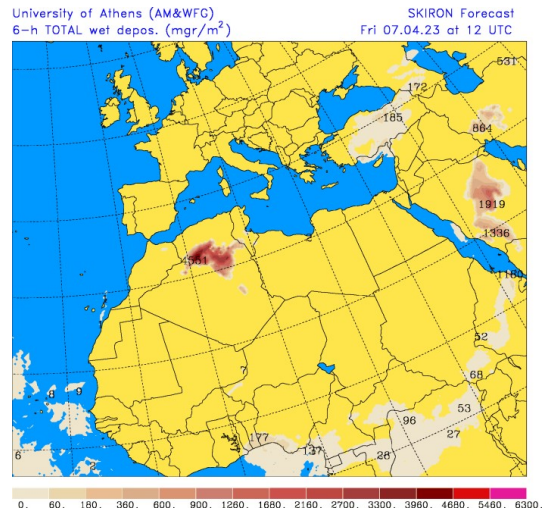
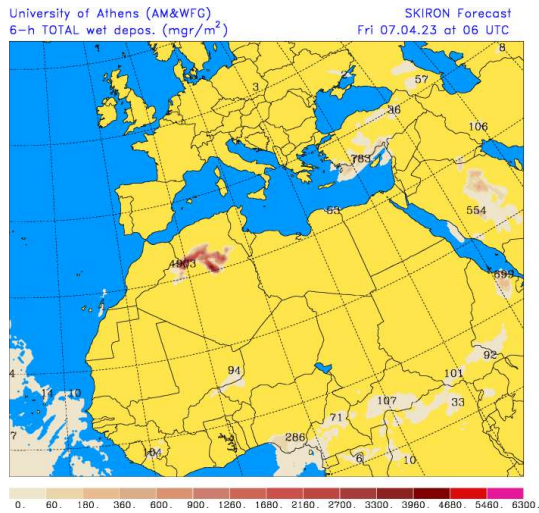
Concentración de polvo ($\mu\text{g}/\text{m}^3$) predicha por el modelo SKIRON para el día 07 de abril de 2023 a las 00 UTC (izquierda) y a las 18 UTC (derecha). © Universidad de Atenas.



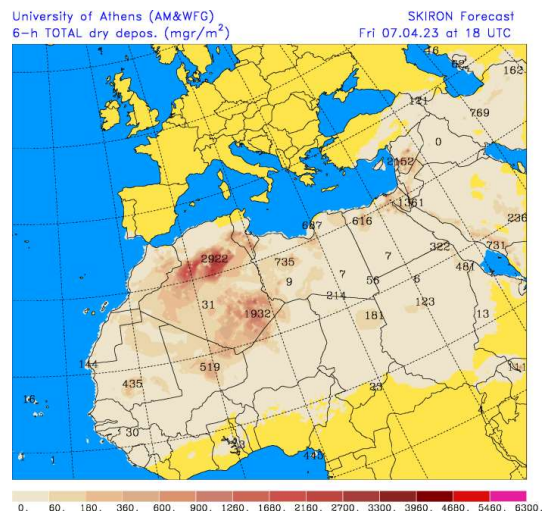
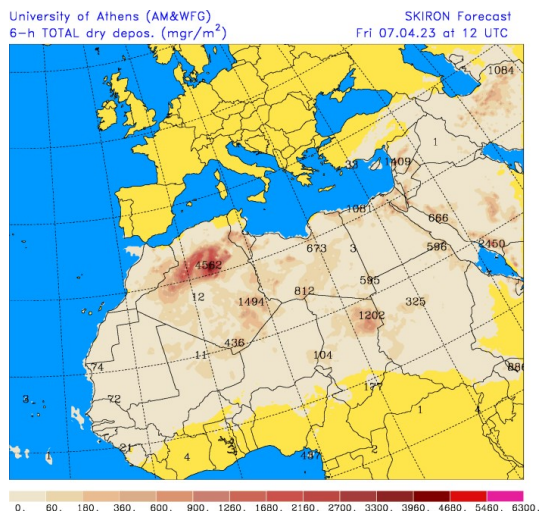
Carga total de polvo (mg/m^2) predicha por el modelo SKIRON para el día 07 de abril de 2023 a las 00 UTC (izquierda) y a las 18 UTC (derecha). © Universidad de Atenas.



Precipitación acumulada (mm) y presión a nivel del mar (hPa) (izquierda) y campo de temperaturas ($^{\circ}\text{C}$) y de altura geopotencial a 850 hPa (derecha) previsto por el modelo SKIRON para el día 07 de abril de 2023 a las 12 UTC. © Universidad de Atenas.



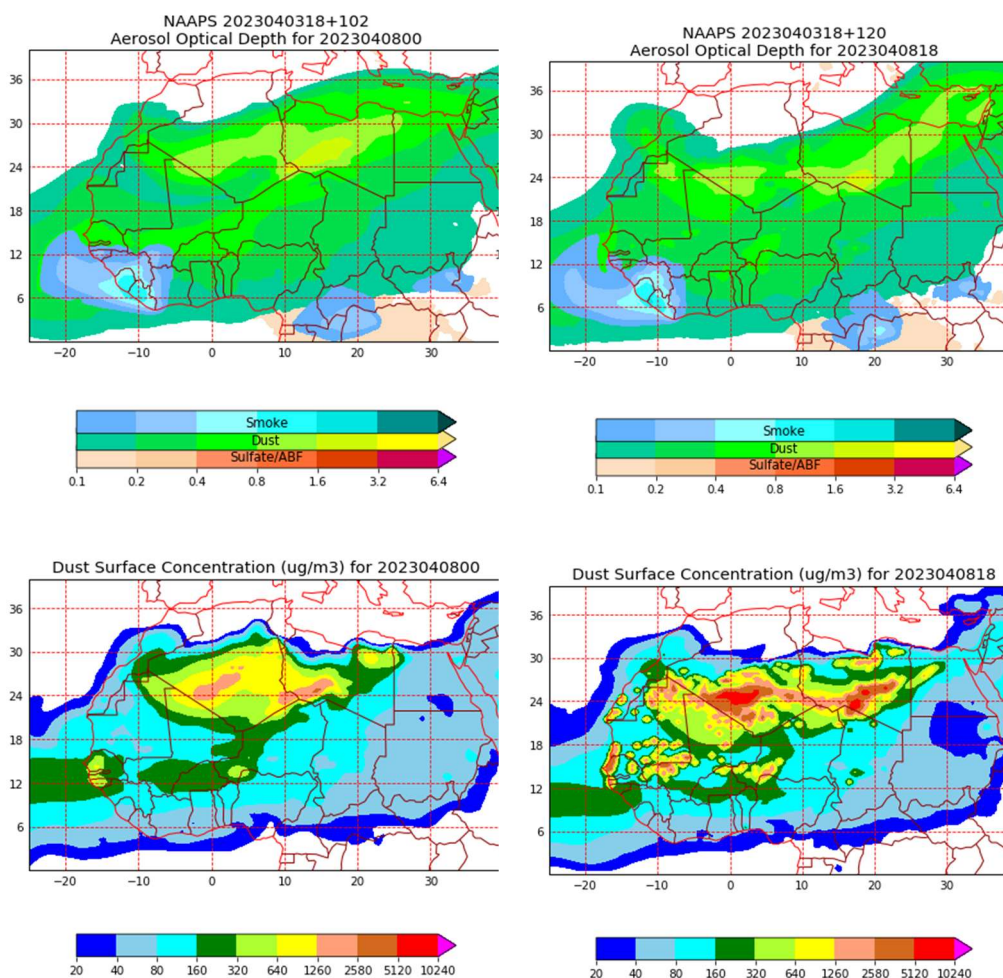
Depósito húmedo de polvo (mg/m²) predicho por el modelo SKIRON para el día 07 de abril de 2023 a las 06 UTC (izquierda) y a las 12 UTC (derecha). © Universidad de Atenas.



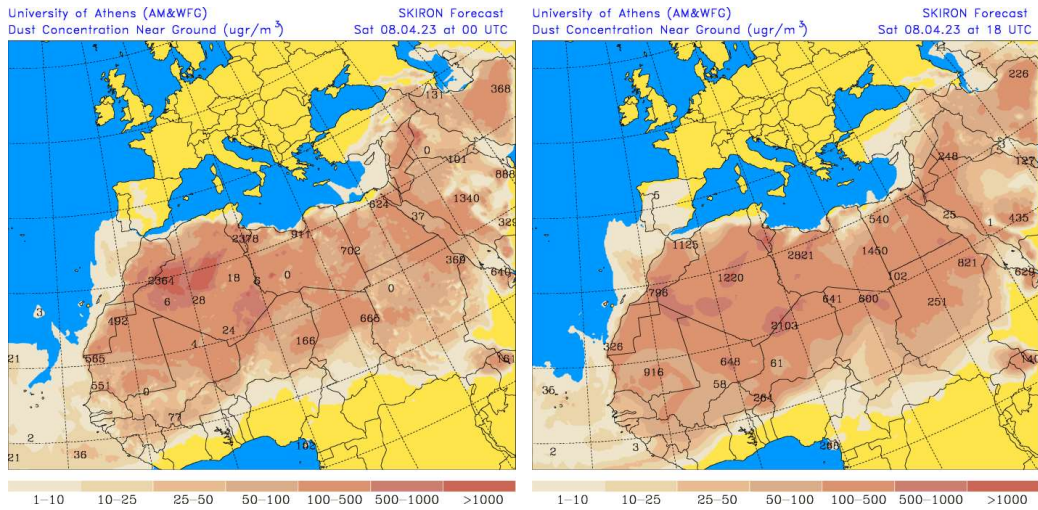
Depósito seco de polvo (mg/m²) predicho por el modelo SKIRON para el día 07 de abril de 2023 a las 12 UTC (izquierda) y a las 18 UTC (derecha). © Universidad de Atenas.

Predicción de intrusión de masas de aire africano sobre España para el día 08 de abril de 2023

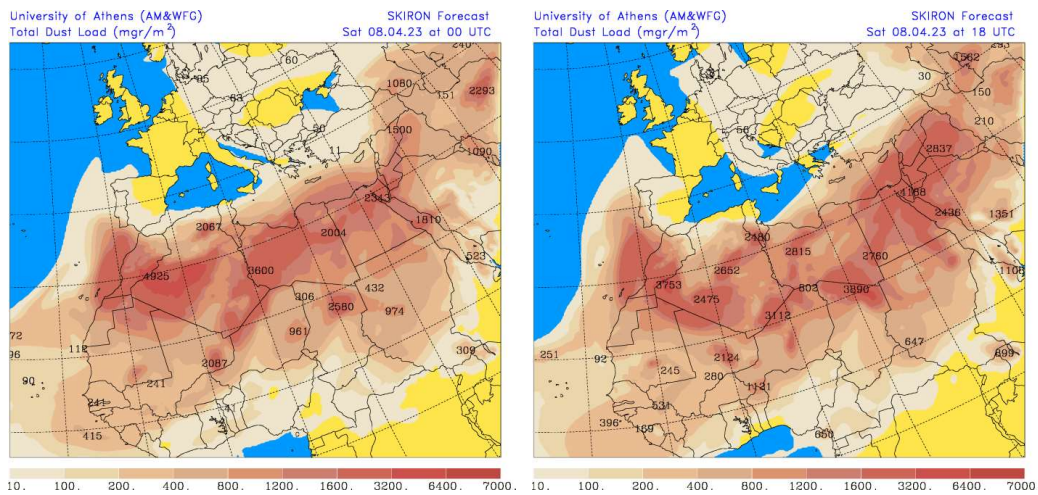
Se prevé que durante el próximo día 08 de abril persistan las bajas presiones sobre Marruecos y el consiguiente transporte de polvo hasta el archipiélago canario y zonas del SO peninsular. En consecuencia, se podrán registrar niveles de concentración de polvo en superficie en el rango 10-80 $\mu\text{g}/\text{m}^3$ en las islas Canarias y en el rango 10-25 $\mu\text{g}/\text{m}^3$ en zonas del SO peninsular. Durante las primeras horas del día podrán producirse eventos de depósito húmedo de polvo en las islas Canarias y a partir del mediodía también de depósito seco de polvo en este archipiélago y en zonas del SO peninsular.



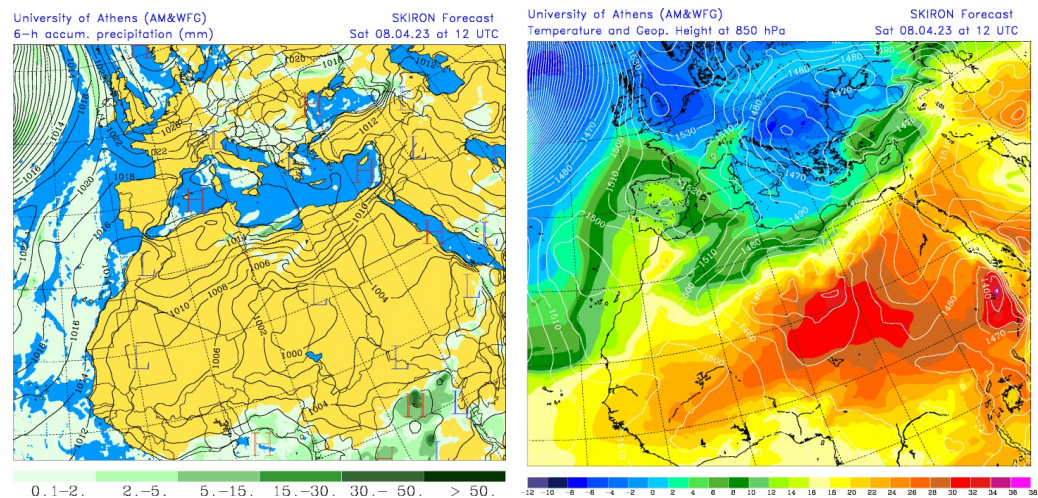
Espesor óptico de aerosoles a 550 nm (arriba) y concentración de polvo a nivel de superficie (abajo) previstos por el modelo NAAPS para el día 08 de abril de 2023 a las 00 UTC (izquierda) y a las 18 UTC (derecha) sobre el norte de África. ©Naval Research Laboratory (NRL), Monterey, CA.



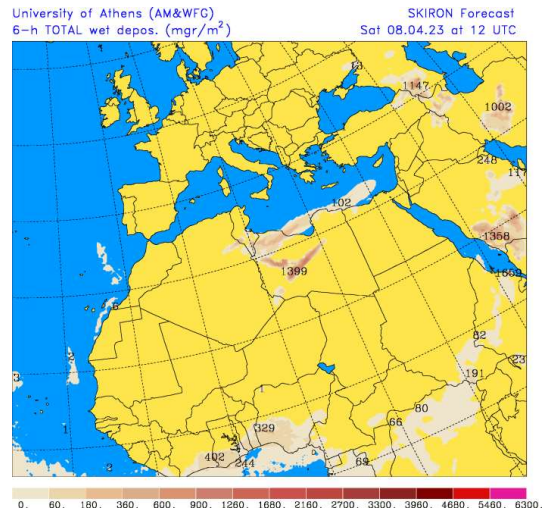
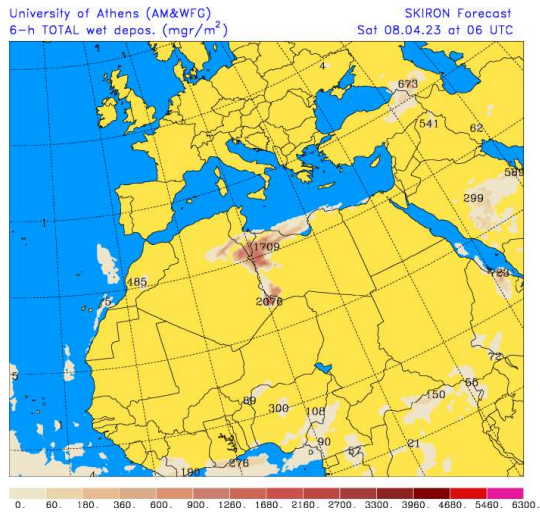
Concentración de polvo ($\mu\text{g}/\text{m}^3$) predicha por el modelo SKIRON para el día 08 de abril de 2023 a las 00 UTC (izquierda) y a las 18 UTC (derecha). © Universidad de Atenas.



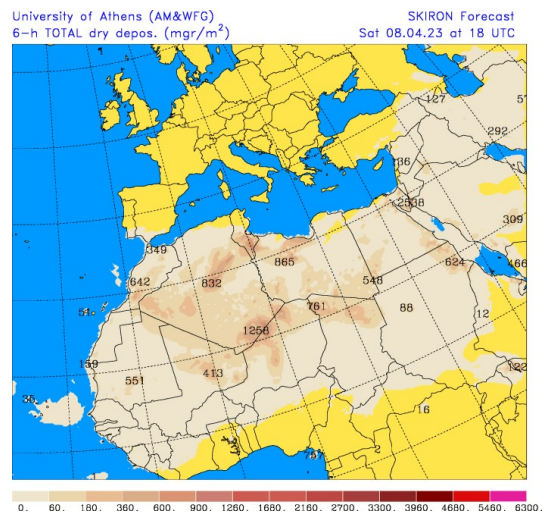
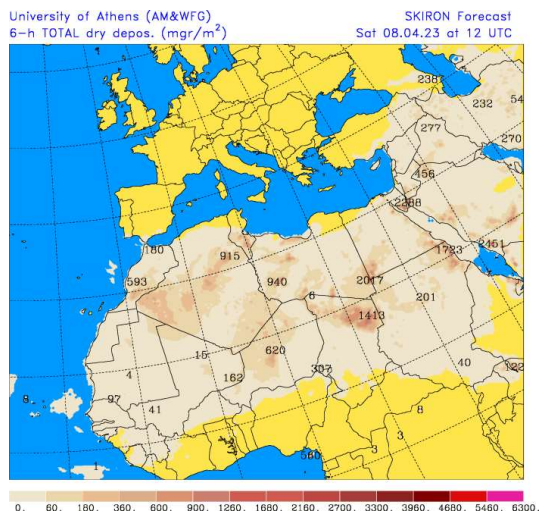
Carga total de polvo (mgr/m^2) predicha por el modelo SKIRON para el día 08 de abril de 2023 a las 00 UTC (izquierda) y a las 18 UTC (derecha). © Universidad de Atenas.



Precipitación acumulada (mm) y presión a nivel del mar (hPa) (izquierda) y campo de temperaturas ($^{\circ}\text{C}$) y de altura geopotencial a 850 hPa (derecha) previsto por el modelo SKIRON para el día 08 de abril de 2023 a las 12 UTC. © Universidad de Atenas.



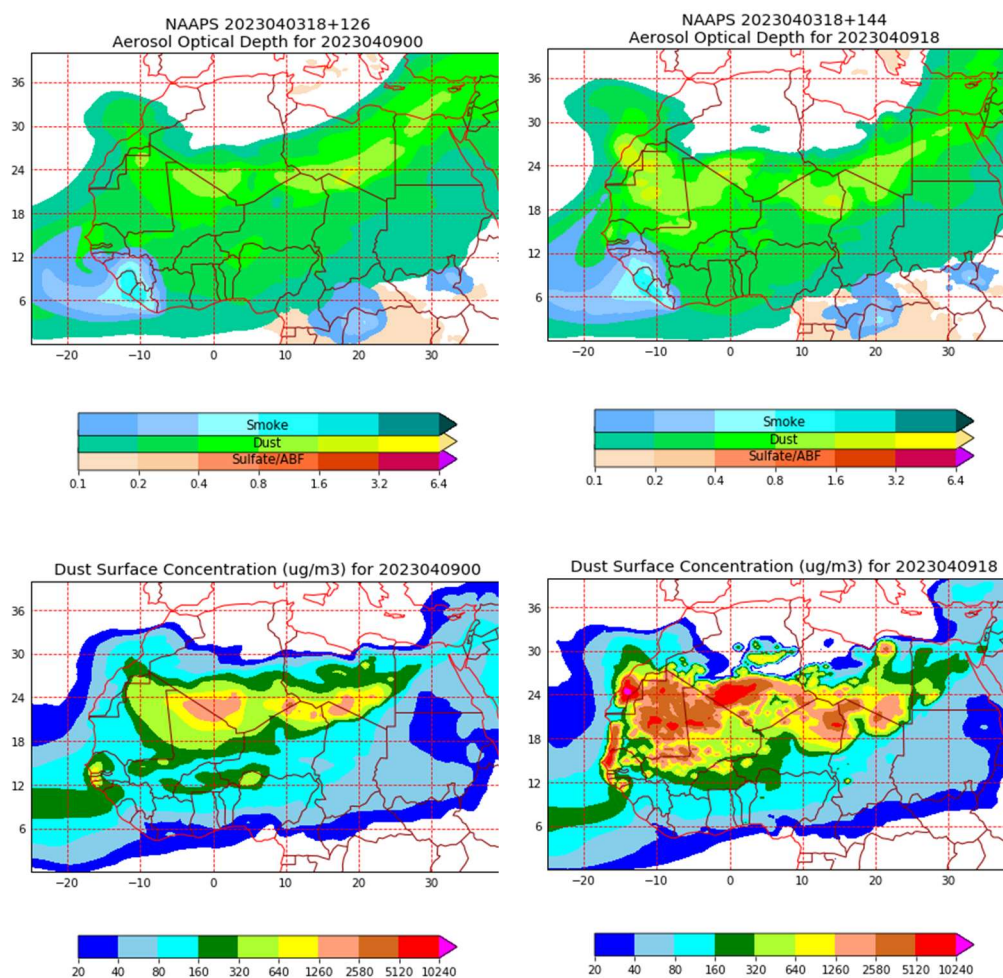
Depósito húmedo de polvo (mg/m²) predicho por el modelo SKIRON para el día 08 de abril de 2023 a las 06 UTC (izquierda) y a las 12 UTC (derecha). © Universidad de Atenas.



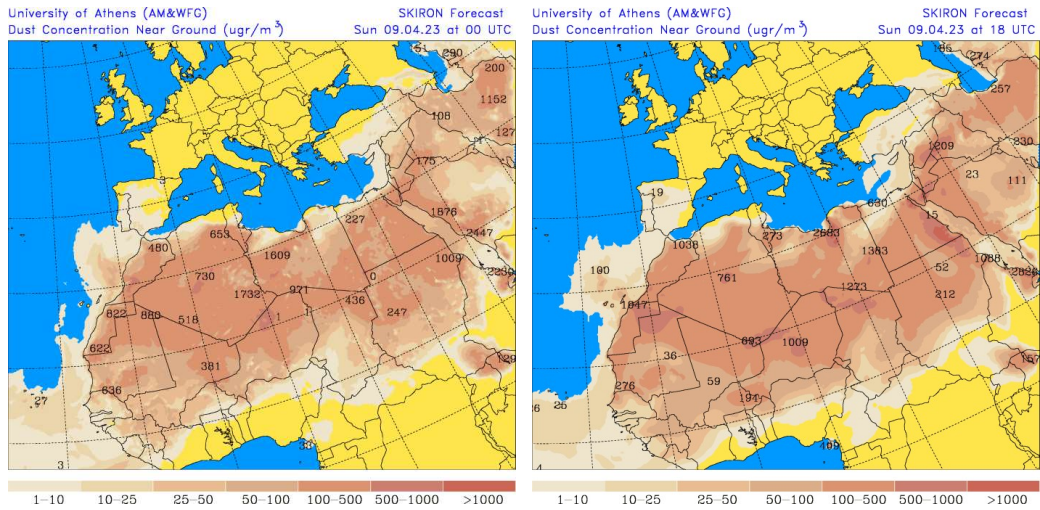
Depósito seco de polvo (mg/m²) predicho por el modelo SKIRON para el día 08 de abril de 2023 a las 12 UTC (izquierda) y a las 18 UTC (derecha). © Universidad de Atenas.

Predicción de intrusión de masas de aire africano sobre España para el día 09 de abril de 2023

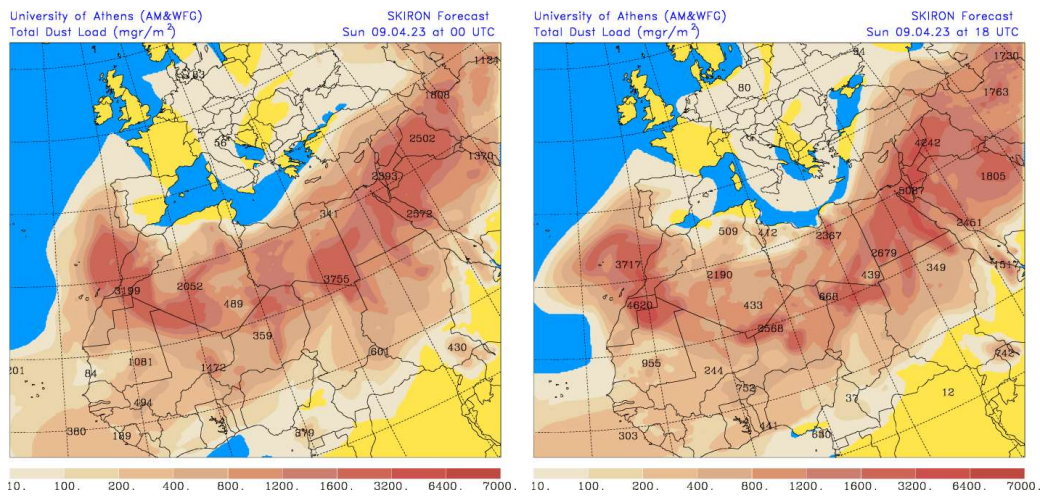
Se prevé que durante el próximo día 09 de abril persista el patrón meteorológico sinóptico que genera el transporte de polvo hasta el archipiélago canario y zonas del tercio occidental peninsular. En consecuencia, se podrán registrar niveles de concentración de polvo en superficie en el rango 20-640 $\mu\text{g}/\text{m}^3$ en las islas Canarias y en el rango 10-25 $\mu\text{g}/\text{m}^3$ en zonas del SO y NO peninsular. Durante las primeras horas del día podrán producirse eventos de depósito húmedo de polvo en las islas Canarias y a partir del mediodía también de depósito seco de polvo en este archipiélago y en zonas del centro y SO peninsular.



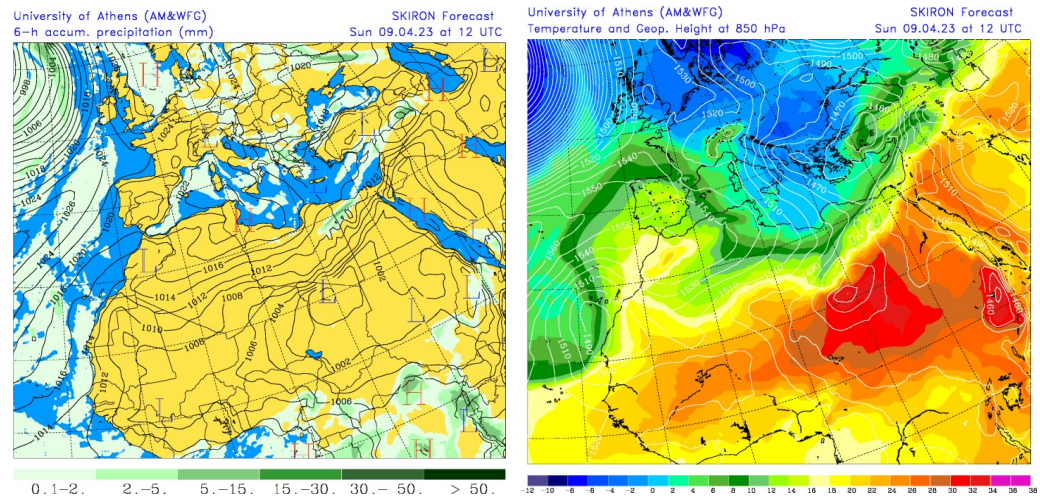
Espesor óptico de aerosoles a 550 nm (arriba) y concentración de polvo a nivel de superficie (abajo) previstos por el modelo NAAPS para el día 09 de abril de 2023 a las 00 UTC (izquierda) y a las 18 UTC (derecha) sobre el norte de África. ©Naval Research Laboratory (NRL), Monterey, CA.



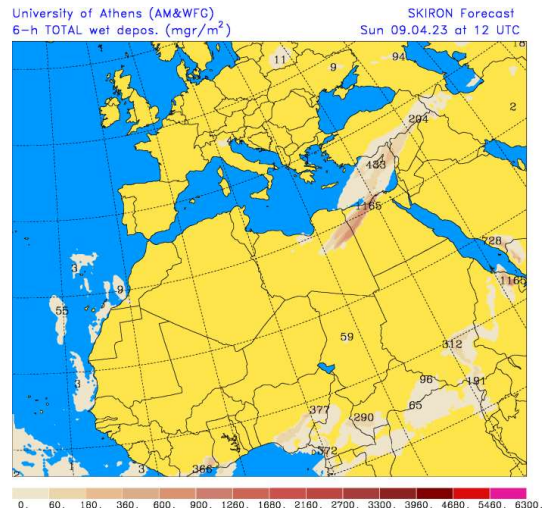
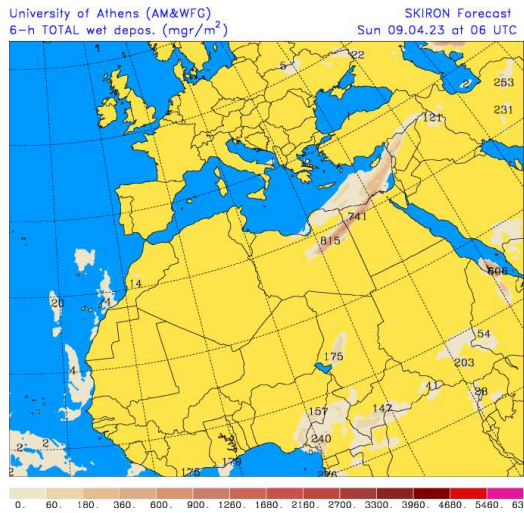
Concentración de polvo ($\mu\text{g}/\text{m}^3$) predicha por el modelo SKIRON para el día 09 de abril de 2023 a las 00 UTC (izquierda) y a las 18 UTC (derecha). © Universidad de Atenas.



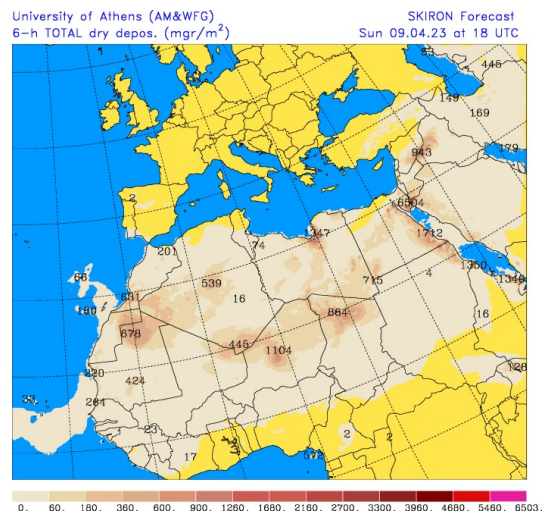
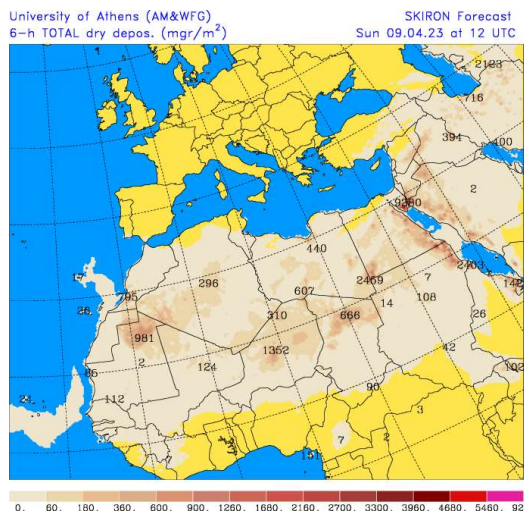
Carga total de polvo (mg/m^2) predicha por el modelo SKIRON para el día 09 de abril de 2023 a las 00 UTC (izquierda) y a las 18 UTC (derecha). © Universidad de Atenas.



Precipitación acumulada (mm) y presión a nivel del mar (hPa) (izquierda) y campo de temperaturas ($^{\circ}\text{C}$) y de altura geopotencial a 850 hPa (derecha) previsto por el modelo SKIRON para el día 09 de abril de 2023 a las 12 UTC. © Universidad de Atenas.



Depósito húmedo de polvo (mg/m^2) predicho por el modelo SKIRON para el día 09 de abril de 2023 a las 06 UTC (izquierda) y a las 12 UTC (derecha). © Universidad de Atenas.



Depósito seco de polvo (mg/m^2) predicho por el modelo SKIRON para el día 09 de abril de 2023 a las 12 UTC (izquierda) y a las 18 UTC (derecha). © Universidad de Atenas.

Fecha de elaboración de la predicción: 05 de abril de 2023

Predicción elaborada por Pedro Salvador (CIEMAT)

Los datos son propiedad de la Dirección General de Calidad y Evaluación Ambiental, del Ministerio para la Transición Ecológica y el Reto Demográfico, y han sido obtenidos y se suministran en el marco del “Encargo del Ministerio para la Transición Ecológica a la Agencia Estatal Consejo Superior de Investigaciones Científicas para la detección de episodios naturales de aportes transfronterizos de partículas y otras fuentes de contaminación de material particulado, y de formación de ozono troposférico”.